

**PONTIFICIA UNIVERSIDAD CATÓLICA DEL PERÚ**

**FACULTAD DE CIENCIAS E INGENIERÍA**



**FACTORIZACIÓN DE POLINOMIOS MEDIANTE UN MÉTODO  
ITERATIVO**

**Tesis para obtener el título profesional de Licenciado en Matemática**

**AUTOR:**

Eduardo Alexis Llamoca Palomino

**ASESOR:**

Alfredo Bernardo Poirier Schmitz

Lima, Junio, 2025

## Informe de Similitud

Yo, Alfredo POIRIER Schmitz, docente de la Facultad de Ciencias e Ingeniería de la Pontificia Universidad Católica del Perú, asesor del trabajo de tesis titulado

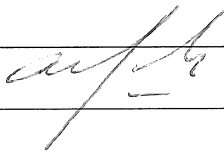
### **FACTORIZACION DE POLINOMIOS MEDIANTE UN METODO ITERATIVO**

del autor Eduardo Alexis LLAMOCA Palomino

dejo constancia de lo siguiente:

- El mencionado documento tiene un índice de puntuación de similitud de 12%, con ninguna referencia individual que supere el 1%, excepto trabajo preliminar del mismo autor. Así lo consigna el reporte de similitud emitido por el software *Turnitin* el 05/05/2025.
- He revisado con detalle dicho reporte y la Tesis y no se advierte indicios de plagio.
- Las citas a otros autores y sus respectivas referencias cumplen con las pautas académicas.

Lugar y fecha: Lima, 5 de mayo del 2025

Apellidos y nombres del asesor: POIRIER SCHMITZ, Alfredo Bernardo	
DNI: 10803756	Firma 
ORCID: 0000-0003-2789-3630	

# Agradecimientos

Algo fundamental que aprendí en mis cinco años de estudios es que si se busca entender un objeto no se le puede separar de la manera cómo interactúa con su entorno. En este sentido, su entorno es parte de su esencia. Creo que este concepto no se limita a objetos matemáticos; por lo cual, me gustaría agradecer a todas las personas que han moldeado mi forma de entender el mundo. Entre ellas quiero resaltar a mi familia, profesores y amigos. A mi familia, por haberme apoyado incondicionalmente y sobre todo a mi mamá por haber estado desde el comienzo. A todos mis profesores, por haber compartido su forma de entender las matemáticas conmigo; muchas veces a través de simples palabras o frases que desvelaron el corazón del objeto estudiado. A mi profesor y asesor de tesis Alfredo Poirier, también por su paciencia en la elaboración de este trabajo. Finalmente, a mis amigos Aaron García, Marcelo Gallardo, Carlos Cosentino, Blas Molero y Luis Zegarra por haber hecho estos cinco años muy agradables.

# Resumen

Un tema recurrente a lo largo de la historia de las matemáticas ha sido el obtener raíces de un polinomio dado. En un principio este problema fue atacado a través de fórmulas algebraicas; es decir, se presentaba una expresión cerrada sobre los coeficientes del polinomio. Sin embargo, desarrollos posteriores descartan el éxito de este método para polinomios de grado mayor a cuatro. Como consecuencia las técnicas actuales resultan ser de corte numérico. Entre ellas podemos encontrar el popular método de Newton.

El objetivo de esta tesis es aportar con otro método para factorizar polinomios que al igual que los anteriores tiene sus ventajas y desventajas. Entre las ventajas encontramos su aplicabilidad a una amplia familia de polinomios con coeficientes en los complejos. Asimismo, presentamos la implementación, en el lenguaje C++, para el método propuesto.

Nuestro método es de carácter iterativo y en cada una de estas iteraciones obtenemos un polinomio. Esta sucesión de polinomios converge y utilizaremos el polinomio límite para aislar la raíz de mayor norma del polinomio que deseamos factorizar. Posteriormente, reutilizamos la información de cada iteración para poder dar con las demás raíces del polinomio.

# Contenido

<b>1</b>	<b>Introducción</b>	<b>1</b>
1.1	Nuestros resultados . . . . .	1
1.2	Nuestras técnicas . . . . .	2
<b>2</b>	<b>Polinomios solares</b>	<b>3</b>
2.1	Convergencia en el primer nivel . . . . .	3
2.2	Armando el segundo nivel . . . . .	8
2.3	Los siguientes niveles . . . . .	10
<b>3</b>	<b>Algoritmo solar</b>	<b>17</b>
3.1	Adentrándonos en el primer nivel . . . . .	18
3.2	Avanzando en niveles más profundos . . . . .	18
<b>4</b>	<b>Extendiendo nuestro algoritmo</b>	<b>22</b>
4.1	Polinomios con raíces simples . . . . .	22
4.2	Polinomios con coeficientes gaussianos . . . . .	23
<b>5</b>	<b>Ejemplos</b>	<b>26</b>
5.1	Ejemplos solares . . . . .	26
5.2	Ejemplos ciclotómicos . . . . .	28
5.3	Ejemplos mixtos . . . . .	29
5.4	Implementación . . . . .	30
	<b>Bibliografía</b>	<b>40</b>

# Capítulo 1

## Introducción

El estudio de las raíces de los polinomios ha sido una cuestión central en las matemáticas desde tiempos antiguos, con aplicaciones que se extienden desde la solución de ecuaciones algebraicas básicas hasta problemas avanzados en física, ingeniería y ciencias computacionales.

No obstante, calcular las raíces de un polinomio no es un problema trivial, especialmente cuando se trata de polinomios de grado mayor a 4, pues para estos es imposible formular una solución general en términos de radicales. Este hecho ha motivado el desarrollo de vastos métodos numéricos para la aproximación de raíces, cada cual con sus ventajas y limitaciones, en función del tipo de polinomio y las características de las raíces que se buscan.

En esta tesis, buscamos contribuir presentando un método iterativo que elude algunas de las limitaciones de enfoques existentes. Nuestro método se distingue por abordar polinomios con coeficientes en  $\mathbb{Q}[i]$  y por su efectividad computacional en una amplia gama de escenarios.

### 1.1 Nuestros resultados

A lo largo de este trabajo se demostrará que el algoritmo presentado es especialmente eficaz cuando el polinomio a factorizar no presenta raíces distintas de un mismo módulo. En efecto, en tal circunstancia, la complejidad del método es de  $O(Ln^2)$ , donde  $n$  denota el grado del polinomio y  $L$  la cantidad de iteraciones que utilizaremos para aproximar las raíces del polinomio.

Asimismo, abordaremos el caso no favorable. Para ello proponemos un enfoque probabilístico, en el cual trasladamos repetidamente el polinomio dado hasta que eventualmente el polinomio obtenido caiga dentro del primer patrón.

## 1.2 Nuestras técnicas

En la primera parte de este trabajo lidiaremos con polinomios cuyas raíces son simples y de norma distinta. Este tipo de polinomios recibirá el nombre de **polinomio solar** debido a que la distribución de sus raíces en el plano complejo se asemeja a un sistema planetario. Posteriormente extenderemos nuestros resultados a polinomios con todas sus raíces simples. Por último, atacaremos polinomios arbitrarios con coeficientes en  $\mathbb{Q}[i]$ , nuestro objetivo.

Comencemos considerando un polinomio solar de grado  $n$  y coeficientes complejos  $P \in \mathbb{C}[z]$  (no necesariamente solo en  $\mathbb{Q}[i]$ ) con raíces  $\alpha_1, \dots, \alpha_n$ . Asumiremos que  $n$  es mayor que 1, pues de no serlo la factorización es trivial. Si dividimos  $z^k$  entre  $P$ , en el esquema de división de Euclides, tendremos un cociente  $Q_k$  y un residuo  $R_k$  relacionados vía

$$z^k = Q_k(z)P(z) + R_k(z). \quad (1.1)$$

En particular, si reemplazamos los distintos  $\alpha_i$ , obtendremos explícitamente

$$\alpha_i^k = R_k(\alpha_i). \quad (1.2)$$

Si los  $\alpha_i$  son distintos, como los  $R_k$  son de grado a lo sumo  $n-1$ , obtendremos un sistema lineal soluble sobre los coeficientes de  $R_k$ . Este trabajo estudia tal sistema y lo explota; de este modo, se logra aislar las raíces de  $P$  siguiendo un orden decreciente en norma. A continuación las raíces aisladas podrán ser recuperadas mediante las relaciones de Peano.

## Capítulo 2

# Desgranando polinomios solares

Sea  $P$  nuestro polinomio solar de grado mayor a 1 con raíces  $\alpha_1, \alpha_2, \dots, \alpha_n$  ordenadas de mayor a menor norma. De las relaciones en (1.2) tendremos una presentación matricial

$$\begin{pmatrix} 1 & \alpha_1 & \alpha_1^2 & \dots & \alpha_1^{n-1} \\ 1 & \alpha_2 & \alpha_2^2 & \dots & \alpha_2^{n-1} \\ 1 & \alpha_3 & \alpha_3^2 & \dots & \alpha_3^{n-1} \\ \vdots & \vdots & \vdots & \ddots & \vdots \\ 1 & \alpha_n & \alpha_n^2 & \dots & \alpha_n^{n-1} \end{pmatrix} \begin{pmatrix} \text{coef}_0(R_k) \\ \text{coef}_1(R_k) \\ \text{coef}_2(R_k) \\ \vdots \\ \text{coef}_{n-1}(R_k) \end{pmatrix} = \begin{pmatrix} \alpha_1^k \\ \alpha_2^k \\ \alpha_3^k \\ \vdots \\ \alpha_n^k \end{pmatrix}, \quad (2.1)$$

donde  $\text{coef}_j(R_k)$  claramente hace referencia al coeficiente de grado  $j$  de  $R_k$ . De esta igualdad, podemos despejar los  $\text{coef}_j(R_k)$  invirtiendo la matriz de Vandermonde. Antes nos detendremos para apreciar las relaciones obtenidas.

### 2.1 Convergencia en el primer nivel

Utilizaremos la notación  $V(a_1, a_2, \dots, a_n)$  para referirnos a la matriz

$$\begin{pmatrix} 1 & a_1 & a_1^2 & \dots & a_1^{n-1} \\ 1 & a_2 & a_2^2 & \dots & a_2^{n-1} \\ 1 & a_3 & a_3^2 & \dots & a_3^{n-1} \\ \vdots & \vdots & \vdots & \ddots & \vdots \\ 1 & a_n & a_n^2 & \dots & a_n^{n-1} \end{pmatrix};$$

asimismo, utilizaremos  $W(a_1, a_2, \dots, a_n)$  para denotar su inversa.

**Lema 2.1.** *Dados  $a_1, a_2, \dots, a_n$  distintos entre sí, se tiene*

$$W(a_1, a_2, \dots, a_n)_{ij} = \text{coef}_{i-1} \left( \prod_{l \neq j} \frac{z - a_l}{a_j - a_l} \right),$$

donde  $i$  e  $j$  son índices entre 1 y  $n$ .

*Prueba.* Por definición sabemos que se cumple

$$\begin{pmatrix} 1 & a_1 & a_1^2 & \dots & a_1^{n-1} \\ 1 & a_2 & a_2^2 & \dots & a_2^{n-1} \\ 1 & a_3 & a_3^2 & \dots & a_3^{n-1} \\ \vdots & \vdots & \vdots & \ddots & \vdots \\ 1 & a_n & a_n^2 & \dots & a_n^{n-1} \end{pmatrix} W = \begin{pmatrix} 1 & 0 & 0 & \dots & 0 \\ 0 & 1 & 0 & \dots & 0 \\ 0 & 0 & 1 & \dots & 0 \\ \vdots & \vdots & \vdots & \ddots & \vdots \\ 0 & 0 & 0 & \dots & 1 \end{pmatrix}.$$

Para cada  $l \neq j$ , al multiplicar la fila  $l$  por la columna  $j$ , se obtiene

$$\sum_{r=1}^n a_l^{r-1} W_{rj} = 0;$$

ello implica que el polinomio

$$W_j(z) = \sum_{r=1}^n W_{rj} z^{r-1}$$

tiene como raíces aquellos  $a_l$  distintos de  $a_j$ . No obstante, para  $l = j$ , se logra

$$W_j(a_j) = \sum_{r=1}^n a_j^{r-1} W_{rj} = 1;$$

y  $W_j$  resulta un polinomio no nulo. Por lo mismo,  $W_j$  tiene que ser un reescalamiento de

$$\prod_{l \neq j} (z - a_l).$$

Utilizamos la condición  $W_j(a_j) = 1$  para confirmar que este reescalamiento debe ser

$$\prod_{l \neq j} \frac{z - a_l}{a_j - a_l}.$$

Al ser  $W_{ij}$  el coeficiente de grado  $i - 1$  de  $W_j$ , obtenemos lo deseado.  $\square$

Al pasar la matriz de Vandermonde en (2.1) a la izquierda, se logra

$$\begin{pmatrix} \text{coef}_0(R_k) \\ \text{coef}_1(R_k) \\ \text{coef}_2(R_k) \\ \vdots \\ \text{coef}_{n-1}(R_k) \end{pmatrix} = W(\alpha_1, \alpha_2, \dots, \alpha_n) \begin{pmatrix} \alpha_1^k \\ \alpha_2^k \\ \alpha_3^k \\ \vdots \\ \alpha_n^k \end{pmatrix}.$$

En esta última relación, conforme  $k$  avanza, el vector de la izquierda será cada vez más “parecido” a la primera columna de  $W$ ; ello se debe a la preponderancia de  $\alpha_1$ , en norma, sobre las demás raíces. Esto se hace explícito en el siguiente teorema.

**Teorema 2.2.** *Para  $n \geq 1$ , sea  $T_k$  una sucesión de polinomios de grado menor a  $n$  y  $a_1, a_2, \dots, a_n$  números complejos, de normas distintas entre sí, ordenados de mayor a menor norma. Supongamos que  $T_k(a_j)$  puede expresarse como  $C_{jk}a_j^k$  y los  $C_{jk}$  (vistos como sucesiones indexadas por  $k$ ) converjan a un  $c_j$ . Si adicionalmente  $c_1$  es no nulo, las formas mónicas de los  $T_k$  convergen al polinomio mónico de raíces  $a_2, a_3, \dots, a_n$ .*

*Prueba.* Podemos trabajar con los  $T_k$  como si tuvieran  $n$  coeficientes (los completamos con ceros de ser necesario). Las relaciones asumidas se dejan leer en forma matricial cual

$$\begin{pmatrix} 1 & a_1 & a_1^2 & \dots & a_1^{n-1} \\ 1 & a_2 & a_2^2 & \dots & a_2^{n-1} \\ 1 & a_3 & a_3^2 & \dots & a_3^{n-1} \\ \vdots & \vdots & \vdots & \ddots & \vdots \\ 1 & a_n & a_n^2 & \dots & a_n^{n-1} \end{pmatrix} \begin{pmatrix} \text{coef}_0(T_k) \\ \text{coef}_1(T_k) \\ \text{coef}_2(T_k) \\ \vdots \\ \text{coef}_{n-1}(T_k) \end{pmatrix} = \begin{pmatrix} a_1^k C_{1k} \\ a_2^k C_{2k} \\ a_3^k C_{3k} \\ \vdots \\ a_n^k C_{nk} \end{pmatrix}.$$

Si pasamos  $V(a_1, a_2, \dots, a_n)$  a derecha tenemos

$$\begin{pmatrix} \text{coef}_0(T_k) \\ \text{coef}_1(T_k) \\ \text{coef}_2(T_k) \\ \vdots \\ \text{coef}_{n-1}(T_k) \end{pmatrix} = W(a_1, a_2, \dots, a_n) \begin{pmatrix} a_1^k C_{1k} \\ a_2^k C_{2k} \\ a_3^k C_{3k} \\ \vdots \\ a_n^k C_{nk} \end{pmatrix}.$$

Al dividir ambos miembros entre  $a_1^k C_{1k}$ , pues son distintos de 0 a partir de cierto  $K$ , conseguimos

$$\frac{1}{a_1^k C_{1k}} \begin{pmatrix} \text{coef}_0(T_k) \\ \text{coef}_1(T_k) \\ \text{coef}_2(T_k) \\ \vdots \\ \text{coef}_{n-1}(T_k) \end{pmatrix} = W(a_1, a_2, \dots, a_n) \begin{pmatrix} 1 \\ (a_2/a_1)^k (C_{2k}/C_{1k}) \\ (a_3/a_1)^k (C_{3k}/C_{1k}) \\ \vdots \\ (a_n/a_1)^k (C_{nk}/C_{1k}) \end{pmatrix}. \quad (2.2)$$

Al tomar límite, obtenemos

$$\lim_{k \rightarrow \infty} \frac{1}{a_1^k C_{1k}} \begin{pmatrix} \text{coef}_0(T_k) \\ \text{coef}_1(T_k) \\ \text{coef}_2(T_k) \\ \vdots \\ \text{coef}_{n-1}(T_k) \end{pmatrix} = W(a_1, a_2, \dots, a_n) \begin{pmatrix} 1 \\ 0 \\ 0 \\ \vdots \\ 0 \end{pmatrix},$$

pues  $a_1$  tiene norma máxima. Entonces para cada  $i$  desde 0 hasta  $n - 1$  se cumple

$$\lim_{k \rightarrow \infty} \frac{\text{coef}_i(T_k)/a_1^k C_{1k}}{\text{coef}_{n-1}(T_k)/a_1^k C_{1k}} = \frac{W_{i1}}{W_{(n-1)1}},$$

o, lo que es lo mismo,

$$\lim_{k \rightarrow \infty} \frac{\text{coef}_i(T_k)}{\text{coef}_{n-1}(T_k)} = \frac{W_{i1}}{W_{(n-1)1}}.$$

Esto es equivalente a decir que la forma mónica de los  $T_k$  converge a la forma mónica del polinomio ligado a la primera columna de  $W$  y este último, gracias al lema 2.1, es el polinomio deseado.  $\square$

*Observación.* Obsérvese que el polinomio ligado a la primera columna de  $W(a_1, a_2, \dots, a_n)$  es de grado  $n - 1$  y por ende a partir de cierto  $K$ , los  $T_k$  también tendrán grado  $n - 1$ .

**Definición 2.3.** Diremos que una sucesión  $x_k$  converge a  $x$  geoméricamente, si existe un  $\delta$  menor que 1 tal que a partir de cierto índice  $K$  se tiene

$$|x_k - x| \leq \delta^k.$$

**Corolario 2.4.** *Bajo las condiciones del teorema 2.2, si los  $C_{jk}$  convergen a  $c_j$  geoméricamente, entonces los coeficientes de las formas mónicas de los polinomios  $T_k$  también lo hacen.*

*Prueba.* En referencia a la prueba anterior, debemos notar que el índice  $K$  a partir del cual podemos dividir entre  $a_1^k C_{1k}$  es aquel cuando  $C_{1k}$  se despega de 0. Sabemos que  $C_{1k}$  converge a  $c_1$ , distinto de 0, con una velocidad no menor a  $\theta^k$  (donde  $\theta$  es menor que 1) y por tal motivo se despegará de 0 a tal velocidad. En consonancia, de la relación (2.2) se observa que la convergencia de

$$\frac{1}{a_1^k C_{1k}} \begin{pmatrix} \text{coef}_0(T_k) \\ \text{coef}_1(T_k) \\ \text{coef}_2(T_k) \\ \vdots \\ \text{coef}_{n-1}(T_k) \end{pmatrix}$$

a la primera columna de  $W(a_1, a_2, \dots, a_n)$  es tan rápida como la convergencia de

$$\begin{pmatrix} 1 \\ (a_2/a_1)^k (C_{2k}/C_{1k}) \\ (a_3/a_1)^k (C_{3k}/C_{1k}) \\ \vdots \\ (a_n/a_1)^k (C_{nk}/C_{1k}) \end{pmatrix},$$

entrada por entrada, a

$$\begin{pmatrix} 1 \\ 0 \\ 0 \\ \vdots \\ 0 \end{pmatrix}.$$

La primera entrada se queda estática en 1 y no hay nada que probar. Para los demás  $j$ , distintos de 1, la sucesión  $C_{jk}/C_{1k}$  converge a  $c_j/c_1$  y por ende está acotada. De este modo,

$$\left(\frac{a_j}{a_1}\right)^k \cdot \frac{C_{jk}}{C_{1k}}$$

converge a 0 tan rápido como

$$\left(\frac{a_j}{a_1}\right)^k$$

lo hace. Por tales motivos, si denotamos con  $\delta$  al máximo entre  $\theta$  y los  $|a_2/a_1|, |a_3/a_1|, \dots, |a_n/a_1|$ , tendremos que la convergencia de

$$\frac{\text{coef}_j(T_k)}{\text{coef}_{n-1}(T_k)}$$

a

$$\frac{W_{j1}}{W_{(n-1)1}}$$

es al menos tan rápida como la de  $\delta^k$  a 0 y claramente  $\delta$  es menor que 1.  $\square$

*Observación.* Aquí obsérvese que el corolario implica que el grado de  $T_k$  se estabiliza en  $n - 1$  a velocidad geométrica.

Nuestra primera aplicación del teorema 2.2 y su corolario será a la sucesión  $R_k$ , pues para esta tenemos  $R_k(\alpha_j) = \alpha_j^k$ ; es decir, podemos tomar los  $C_{jk}$  como constantes (iguales a 1), y estos convergen trivialmente con la velocidad requerida. Concluimos que la forma mónica de los  $R_k$  converge al polinomio

ligado a la primera columna de  $W(\alpha_1, \alpha_2, \dots, \alpha_n)$  y este no es sino la forma mónica de  $P(z)/(z - \alpha_1)$ . Además la velocidad de convergencia en este caso será no menor a  $|\alpha_2/\alpha_1|^k$ . En la práctica este procedimiento permite separar  $\alpha_1$  de  $P$  y, mediante las relaciones de Peano, recuperar tal raíz cual

$$\alpha_1 = \lim_{k \rightarrow \infty} \frac{\text{coef}_{n-2}(R_k)}{\text{coef}_{n-1}(R_k)} - \frac{\text{coef}_{n-1}(P)}{\text{coef}_n(P)}; \quad (2.3)$$

más aún, la velocidad con la que se obtiene este límite es geométrica.

## 2.2 Armando el segundo nivel

Con los resultados obtenidos por el momento, podemos idear un algoritmo para calcular la raíz dominante, la de mayor norma. Podemos calcular los  $R_k$  iterativamente hasta habernos adentrado suficiente en la sucesión y luego usar la relación (2.3) para recuperar  $\alpha_1$ . Sin embargo, hay un modo aún más rápido y esto viene de notar que podemos desplazarnos dentro de la sucesión de una forma exponencial en vez de una manera lineal. Es decir una vez computado  $R_k$ , en el siguiente paso podemos computar  $R_{2k}$  luego  $R_{4k}$  y así sucesivamente. Para materializar esta idea, observemos que  $R_{2k}$  no es nada más que el resto de  $R_k^2$  módulo  $P$ . Además como el grado de los  $R$ 's está acotado por  $n$ , la cantidad de operaciones que realizamos en cada paso no crece descomunalmente. Así, si indexamos nuestros pasos con la variable  $l$ , nuestra convergencia se dará con una velocidad no menor a  $|\alpha_2/\alpha_1|^{2^l}$ , exponencial (cuadrática) esta vez.

Ya en esta etapa, el sentido común dicta que mientras las condiciones nos lo permitan, podemos retirar  $\alpha_1$  de  $P$  mediante una división y repetir el proceso en  $P(z)/(z - \alpha_1)$  para obtener la siguiente raíz. Sin embargo, incluso cuando las condiciones son las adecuadas este proceso no es el más eficiente ni el más preciso. En primer lugar, para calcular el resto de  $z^k$  módulo  $P(z)/(z - \alpha_1)$  no debería ser necesario repetir todo desde un inicio; es decir los  $R_k$  deberían poder ser reutilizados para conseguir una sucesión que aisle  $\alpha_2$  de  $P(z)/(z - \alpha_1)$  y así ahorrarnos muchos cálculos. En segundo lugar la división  $P(z)/(z - \alpha_1)$  nos hará perder precisión (fundamentalmente en los coeficientes) dado que en ningún momento hemos calculado tal  $\alpha_1$ , sino apenas aproximaciones de este.

Debido a todo ello, en aras de generalizar nuestro método, buscaremos un refinamiento de la relación (1.1) a fin de que como residuo obtengamos polinomios con grado, eventualmente,  $n - 2$ . De esta manera, tal como  $R_k$ , por tener grado  $n - 1$ , aisló  $\alpha_1$ , abrigamos la esperanza de que esta nueva

sucesión de polinomios aísle  $\alpha_1$  y  $\alpha_2$ . Llegado su momento veremos que relaciones tipo

$$z^k(z - a_k) \equiv S_k(z) \pmod{P}, \quad (2.4)$$

con  $S_k$  polinomio de grado no mayor a  $n - 2$ , juegan un rol importante.

Esta relación no necesariamente se puede forzar para todo  $k$ . No obstante, a partir de cierto  $K$ , no solo existirá sino que además tanto  $a_k$  como  $S_k$  serán únicos (salvo dependencia en  $k$ ).

Para construir estas relaciones es necesario fijar  $K_1$ , el índice a partir del cual  $R_k$  es honestamente de grado  $n - 1$ ; la existencia de este índice fue vista en la observación posterior al teorema 2.2. Ahora para todo índice  $k$  por encima de  $K_1$ , basta notar que

$$a_k = \frac{\text{coef}_{n-1}(R_{k+1})}{\text{coef}_{n-1}(R_k)}$$

y

$$S_k = R_{k+1} - a_k R_k$$

quedan sujetas a (2.4). Es natural preguntar si existe otro número complejo  $\hat{a}_k$  tal que la reducción de  $z^k(z - \hat{a}_k)$  módulo  $P$  es de grado menor o igual a  $n - 2$ . De existir, al restar ambas relaciones se tendrá que el resto de  $z^k(\hat{a}_k - a_k)$  módulo  $P$  será otro polinomio de grado menor igual a  $n - 2$ . Esto es imposible ya que  $\hat{a}_k - a_k$  es distinto de 0 y el resto de  $z^k$  respecto a  $P$  es de grado  $n - 1$ , pues  $k$  es mayor o igual a  $K_1$ .

Gracias a este último detalle, podemos analizar la sucesión  $a_k$  (comenzando en  $K_1$ ) y si ver si esta nos lleva a algún lado.

**Lema 2.5.** *La sucesión  $a_k$  converge a  $\alpha_1$ , la raíz de mayor norma de  $P$ .*

*Prueba.* Por definición de  $R_k$  como congruente a  $z^k$  se tiene

$$R_{k+1}(z) \equiv zR_k(z) \pmod{P}$$

con miembro izquierdo de grado  $n - 1$  y derecho de grado  $n$ . Por ende  $R_{k+1}$  puede hallarse de manera explícita como

$$R_{k+1}(z) = zR_k(z) - \frac{\text{coef}_{n-1}(R_k)}{\text{coef}_n(P)}P(z).$$

Al computar el coeficiente de grado  $n - 1$  en ambos lados obtenemos la igualdad

$$\text{coef}_{n-1}(R_{k+1}) = \text{coef}_{n-2}(R_k) - \text{coef}_{n-1}(R_k) \frac{\text{coef}_{n-1}(P)}{\text{coef}_n(P)},$$

o, lo que es equivalente,

$$a_k = \frac{\text{coef}_{n-2}(R_k)}{\text{coef}_{n-1}(R_k)} - \frac{\text{coef}_{n-1}(P)}{\text{coef}_n(P)}.$$

El lado derecho de esta igualdad es el mismo que en (2.3), de donde se sigue

$$\lim_{k \rightarrow \infty} a_k = \alpha_1.$$

□

**Corolario 2.6.** *La sucesión  $a_k$  converge con velocidad geométrica.*

*Prueba.* La velocidad de convergencia de esta sucesión depende de cuán rápido encontramos  $K_1$  y de la convergencia de

$$\frac{\text{coef}_{n-2}(R_k)}{\text{coef}_{n-1}(R_k)}.$$

Este último converge geoméricamente gracias al corolario 2.4. Además en la observación posterior a ese corolario, hemos indicado por qué el  $K_1$  puede hallarse también a ese ritmo. □

## 2.3 Los siguientes niveles

A lo realizado en la sección anterior aún queda por justificar por qué los  $S_k$  en efecto aíslan las dos raíces superiores de  $P$ . Pero, no solo eso, sino que además es posible generalizar el trabajo a fin de aislar sucesivamente cada vez más raíces. Todos estos pendientes los condensaremos en un teorema.

**Teorema 2.7.** *Para cada  $d$  desde 0 hasta  $n - 2$  existe un índice  $K_d$  a partir del cual hay un único  $A_k^d$  mónico de grado  $d$  tal que el polinomio de la derecha en*

$$z^k A_k^d(z) \equiv S_k^d(z) \pmod{P}$$

*es de grado no mayor a  $n - d - 1$ . Adicionalmente, fijado el  $d$ , la sucesión  $A_k^d$  converge al polinomio mónico generado por las  $d$  raíces de mayor norma de  $P$  y los equivalentes mónicos de la sucesión  $S_k^d$  convergen al polinomio mónico generado por las  $n - d - 1$  raíces de menor norma de  $P$ . En otras palabras, esta relación aísla las  $d + 1$  raíces superiores de  $P$ .*

*Prueba.* Para  $d = 0$ ,  $K_0 = 0$ , todo lo que hay por demostrar o es trivial o ya fue hecho en los capítulos anteriores. Para  $d = 1$ , debemos constatar que los

$S_k^1$  aislan las dos raíces superiores de  $P$ . Además está indicar que los  $K_d$  se asumen crecientes.

Procederemos por inducción. Supongamos que para cierto  $d$  conocemos la existencia, unicidad y convergencia de los  $A_k^d$  para los  $k$  mayores o iguales a  $K_d$ . Veamos por qué los  $S_k^d$  aislan las  $d + 1$  raíces superiores de  $P$ . Al reemplazar  $\alpha_{d+1}, \alpha_{d+2}, \dots, \alpha_n$  en la congruencia se obtiene

$$S_k^d(\alpha_j) = \alpha_j^k A_k^d(\alpha_j).$$

Gracias a la hipótesis inductiva se cumple

$$\lim_{k \rightarrow \infty} A_k^d(\alpha_j) = \prod_{l=1}^d (\alpha_j - \alpha_l),$$

lo cual implica que para los  $j$  mayores a  $d$  este límite es distinto de 0. Entonces  $S_k^d$  y las raíces  $\alpha_{d+1}, \alpha_{d+2}, \dots, \alpha_n$  satisfacen las condiciones del teorema 2.2. Gracias a este teorema, las formas mónicas de  $S_k^d$  convergen al polinomio deseado. En particular, existe un  $K_{d+1}$  tal que todo elemento de la sucesión con un índice mayor o igual a este tiene grado exactamente  $n - d - 1$ .

Ahora construyamos el nivel  $d + 1$ ; el procedimiento será totalmente análogo a lo realizado en la sección anterior. Comencemos notando que para los  $k$  a partir de  $K_{d+1}$ , el polinomio

$$A_k^{d+1}(z) = z A_{k+1}^d(z) - \frac{\text{coef}_{n-d-1}(S_{k+1}^d)}{\text{coef}_{n-d-1}(S_k^d)} A_k^d(z)$$

cumple con lo que deseamos. De haber otro, digamos  $\widehat{A}_k(z)$ , tendríamos

$$z^k (\widehat{A}_k(z) - A_k^{d+1}(z)) \equiv T(z) \pmod{P},$$

donde  $T$  tiene un grado no mayor a  $n - d - 2$  al ser la diferencia de dos polinomios de a lo mucho ese grado. Si denotamos por  $e$  al grado de  $\widehat{A}_k - A_k^{d+1}$ , tendremos que este ha de ser menor o igual a  $d$  pues son mónicos de grado  $d + 1$ .

De este modo, al tenerse  $k \geq K_{d+1} \geq K_{e+1}$ , el resto de

$$z^k (\widehat{A}_k(z) - A_k^{d+1}(z))$$

al ser dividido entre  $P$  tiene grado mayor a  $n - e - 1$  cuando  $\widehat{A}_k - A_k^{d+1}$  no es un reescalamiento de  $A_k^e$  y exactamente  $n - e - 1$  cuando sí lo es. Así, por un lado tenemos que el grado de  $T$  no es mayor a  $n - d - 2$  y por otro es al menos  $n - e - 1$ : de acá obtenemos  $d + 2 \leq e + 1$ , una clara contradicción.

Finalmente, para cerrar el círculo, resta probar que los  $A_k^{d+1}$  convergen al polinomio adecuado. Fijemos  $j$  en  $1, 2, 3, \dots, d+1$  y sea  $P_j$  el polinomio dado por

$$(z - \alpha_j) \cdot \frac{P(z)}{\prod_{i=1}^{d+1} (z - \alpha_i)}.$$

Ahora notemos que

$$z^k A_k^{d+1}(z) \equiv S_k^{d+1}(z) \pmod{P}$$

implica

$$z^k A_k^{d+1}(z) \equiv S_k^{d+1}(z) \pmod{P_j},$$

pues  $P_j$  divide a  $P$ . Para más comodidad expandamos  $A_k^{d+1}$  como

$$z^{d+1} + c_k^d z^d + \dots + c_k^1 z + c_k^0.$$

Al reemplazar en la congruencia obtenemos

$$z^{k+d+1} + c_k^d z^{k+d} + \dots + c_k^1 z^{k+1} + c_k^0 z^k \equiv S_k^{d+1}(z) \pmod{P_j}. \quad (2.5)$$

Por otro lado, a partir de cierto  $K$ , para cada  $i$  de  $k$  hasta  $k+d$  existe un  $a_i^j$  tal que en

$$z^i(z - a_i^j) \equiv T_i^j(z) \pmod{P_j} \quad (2.6)$$

el polinomio  $T_i^j$  es de grado a lo sumo  $n - d - 2$ . Si nos fijamos en el grupo de polinomios (con la operación suma) cocientado por el subgrupo generado por los polinomios  $1, z, z^2, \dots, z^{n-d-2}$  junto al ideal  $(P_j)$ , tenemos que (2.5) es equivalente a

$$z^{k+d+1} + c_k^d z^{k+d} + \dots + c_k^1 z^{k+1} + c_k^0 z^k \sim 0$$

y las otras relaciones devienen en

$$z^i(z - a_i^j) \sim 0.$$

Ahondando un poco más en ellas tenemos

$$\begin{aligned} z^{k+1} &\sim a_k^j z^k \\ z^{k+2} &\sim a_{k+1}^j a_k^j z^k \\ z^{k+3} &\sim a_{k+2}^j a_{k+1}^j a_k^j z^k \\ &\vdots \\ z^{k+d+1} &\sim a_{k+d}^j a_{k+d-1}^j \dots a_k^j z^k; \end{aligned}$$

y al reemplazarlas en (2.5) obtendremos

$$(c_k^0 + a_k^j c_k^1 + a_{k+1}^j a_k^j c_k^2 + \cdots + a_{k+d-1}^j a_{k+d-2}^j \cdots a_k^j c_k^d + a_{k+d}^j a_{k+d-1}^j \cdots a_k^j) z^k \sim 0.$$

En lenguaje cotidiano ello significa que este múltiplo de  $z^k$ , el polinomio de la izquierda, tiene un resto de grado menor o igual a  $n - d - 2$  cuando es dividido entre  $P_j$ . Esto es solo posible cuando el número que se obtiene al operar todo lo que está dentro de los paréntesis resulta 0, ya que el resto de dividir  $z^k$  entre  $P_j$  tiene grado  $n - d - 1$ . Esta última afirmación es consecuencia de que la construcción de (2.6) requiere que el grado del resto de  $z^k$  ya se haya estabilizado —obligatoriamente en  $n - d - 1$ —. En lenguaje matricial tenemos entonces

$$\left( 1 \quad a_k^j \quad a_k^j a_{k+1}^j \quad \cdots \quad a_k^j a_{k+1}^j \cdots a_{k+d-1}^j \right) \begin{pmatrix} c_k^0 \\ c_k^1 \\ c_k^2 \\ \vdots \\ c_k^d \end{pmatrix} = -a_k^j a_{k+1}^j \cdots a_{k+d}^j.$$

Al combinar las relaciones obtenidas al variar  $j$  desde 1 hasta  $d + 1$  conseguimos

$$\begin{pmatrix} 1 & a_k^1 & a_k^1 a_{k+1}^1 & \cdots & a_k^1 a_{k+1}^1 \cdots a_{k+d-1}^1 \\ 1 & a_k^2 & a_k^2 a_{k+1}^2 & \cdots & a_k^2 a_{k+1}^2 \cdots a_{k+d-1}^2 \\ 1 & a_k^3 & a_k^3 a_{k+1}^3 & \cdots & a_k^3 a_{k+1}^3 \cdots a_{k+d-1}^3 \\ \vdots & \vdots & \vdots & \ddots & \vdots \\ 1 & a_k^{d+1} & a_k^{d+1} a_{k+1}^{d+1} & \cdots & a_k^{d+1} a_{k+1}^{d+1} \cdots a_{k+d-1}^{d+1} \end{pmatrix} \begin{pmatrix} c_k^0 \\ c_k^1 \\ c_k^2 \\ \vdots \\ c_k^d \end{pmatrix} = - \begin{pmatrix} a_k^1 a_{k+1}^1 \cdots a_{k+d}^1 \\ a_k^2 a_{k+1}^2 \cdots a_{k+d}^2 \\ a_k^3 a_{k+1}^3 \cdots a_{k+d}^3 \\ \vdots \\ a_k^{d+1} a_{k+1}^{d+1} \cdots a_{k+d}^{d+1} \end{pmatrix}.$$

Llamaremos  $M_k$  a la matriz de la izquierda y  $m_k$  al vector de la derecha y reformulamos la relación anterior como

$$M_k \begin{pmatrix} c_k^0 \\ c_k^1 \\ c_k^2 \\ \vdots \\ c_k^d \end{pmatrix} = -m_k.$$

Gracias al lema 2.5 los  $a_k^j$  convergen a la raíz de mayor norma de  $P_j$ , es decir a  $\alpha_j$ . En consecuencia  $M_k$  converge a

$$\begin{pmatrix} 1 & \alpha_1 & \alpha_1^2 & \cdots & \alpha_1^d \\ 1 & \alpha_2 & \alpha_2^2 & \cdots & \alpha_2^d \\ 1 & \alpha_3 & \alpha_3^2 & \cdots & \alpha_3^d \\ \vdots & \vdots & \vdots & \ddots & \vdots \\ 1 & \alpha_{d+1} & \alpha_{d+1}^2 & \cdots & \alpha_{d+1}^d \end{pmatrix}$$

y  $m_k$  converge a

$$\begin{pmatrix} \alpha_1^{d+1} \\ \alpha_2^{d+1} \\ \alpha_3^{d+1} \\ \vdots \\ \alpha_{d+1}^{d+1} \end{pmatrix}.$$

Como el límite de los  $M_k$  tiene inversa, tenemos la convergencia

$$\lim_{k \rightarrow \infty} \begin{pmatrix} c_k^0 \\ c_k^1 \\ c_k^2 \\ \vdots \\ c_k^d \end{pmatrix} = - \begin{pmatrix} 1 & \alpha_1 & \alpha_1^2 & \dots & \alpha_1^d \\ 1 & \alpha_2 & \alpha_2^2 & \dots & \alpha_2^d \\ 1 & \alpha_3 & \alpha_3^2 & \dots & \alpha_3^d \\ \vdots & \vdots & \vdots & \ddots & \vdots \\ 1 & \alpha_{d+1} & \alpha_{d+1}^2 & \dots & \alpha_{d+1}^d \end{pmatrix}^{-1} \begin{pmatrix} \alpha_1^{d+1} \\ \alpha_2^{d+1} \\ \alpha_3^{d+1} \\ \vdots \\ \alpha_{d+1}^{d+1} \end{pmatrix}.$$

Esto caracteriza al límite de los coeficientes de  $A_k^{d+1}$  y son quienes queremos que sean, pues el resultado de la derecha solo puede ser el vector formado por los coeficientes no principales del polinomio mónico que tiene como raíces a  $\alpha_1, \alpha_2, \dots, \alpha_{d+1}$ .  $\square$

**Corolario 2.8.** *Así como en los demás resultados, la convergencia de las formas mónicas de los  $S_k^d$  se da con una velocidad geométrica.*

*Prueba.* Para  $d = 0$ , la velocidad de convergencia de los  $A_k^0 = 1$  es trivial y la de los  $R_k = S_k^0$  ya la hemos probado. Adicionalmente, la velocidad de convergencia de los  $A_k^1$  está refrendada en el corolario 2.6.

Así, asumamos que para cierto  $d$  la velocidad de convergencia de los  $A_k^d$  es la deseada. Para los índices  $j$  desde  $d + 1$  hasta  $n$ , se tiene

$$S_k^d(\alpha_j) = \alpha_j^k A_k^d(\alpha_j)$$

y

$$\lim_{k \rightarrow \infty} A_k^d(\alpha_j) = \prod_{l=1}^d (\alpha_j - \alpha_l).$$

Este límite se da con una velocidad geométrica, pues por nuestra hipótesis, los  $A_k^d$  convergen con la velocidad deseada. Por tanto, los  $S_k^d$  y las raíces  $\alpha_{d+1}, \alpha_{d+2}, \dots, \alpha_n$  satisfacen las condiciones del corolario 2.4 y por ende las versiones mónicas de  $S_k^d$  convergen geoméricamente.

Ahora analicemos la sucesión  $A_k^{d+1}$ . Como consecuencia de lo que acabamos de probar, el índice  $K_{d+1}$  a partir del cual se podrá construir la sucesión  $A_k^{d+1}$  puede ser encontrado con una velocidad geométrica, pues este índice es en el cual los grado de los  $S_k^d$  se estabilizan en  $n - d - 1$ .

Recordemos que para la relación

$$\begin{pmatrix} 1 & a_k^1 & a_k^1 a_{k+1}^1 & \cdots & a_k^1 a_{k+1}^1 \cdots a_{k+d-1}^1 \\ 1 & a_k^2 & a_k^2 a_{k+1}^2 & \cdots & a_k^2 a_{k+1}^2 \cdots a_{k+d-1}^2 \\ 1 & a_k^3 & a_k^3 a_{k+1}^3 & \cdots & a_k^3 a_{k+1}^3 \cdots a_{k+d-1}^3 \\ \vdots & \vdots & \vdots & \ddots & \vdots \\ 1 & a_k^{d+1} & a_k^{d+1} a_{k+1}^{d+1} & \cdots & a_k^{d+1} a_{k+1}^{d+1} \cdots a_{k+d-1}^{d+1} \end{pmatrix} \begin{pmatrix} c_k^0 \\ c_k^1 \\ c_k^2 \\ \vdots \\ c_k^d \end{pmatrix} = - \begin{pmatrix} a_k^1 a_{k+1}^1 \cdots a_{k+d}^1 \\ a_k^2 a_{k+1}^2 \cdots a_{k+d}^2 \\ a_k^3 a_{k+1}^3 \cdots a_{k+d}^3 \\ \vdots \\ a_k^{d+1} a_{k+1}^{d+1} \cdots a_{k+d}^{d+1} \end{pmatrix}.$$

fue necesario trabajar no solo después de  $K_{d+1}$ , sino también a partir del  $K$  donde las relaciones

$$z^k(z - a_k^j) \equiv T_k^j \pmod{P_j}$$

existían. Nótese que este  $K$ , como consecuencia de la observación posterior al corolario 2.4, también puede ser encontrado con una velocidad geométrica (el corolario tendrá que ser aplicado a cada  $P_j$  y la más lenta de las  $d+1$  velocidades obtenidas seguirá siendo adecuada). Así, el máximo entre  $K_{d+1}$  y  $K$  será encontrado con la velocidad deseada. Ahora, como a partir de este índice la relación mencionada anteriormente es válida, la matriz

$$\begin{pmatrix} 1 & a_k^1 & a_k^1 a_{k+1}^1 & \cdots & a_k^1 a_{k+1}^1 \cdots a_{k+d-1}^1 \\ 1 & a_k^2 & a_k^2 a_{k+1}^2 & \cdots & a_k^2 a_{k+1}^2 \cdots a_{k+d-1}^2 \\ 1 & a_k^3 & a_k^3 a_{k+1}^3 & \cdots & a_k^3 a_{k+1}^3 \cdots a_{k+d-1}^3 \\ \vdots & \vdots & \vdots & \ddots & \vdots \\ 1 & a_k^{d+1} & a_k^{d+1} a_{k+1}^{d+1} & \cdots & a_k^{d+1} a_{k+1}^{d+1} \cdots a_{k+d-1}^{d+1} \end{pmatrix},$$

bautizada como  $M_k$ , converge a

$$\begin{pmatrix} 1 & \alpha_1 & \alpha_1^2 & \cdots & \alpha_1^d \\ 1 & \alpha_2 & \alpha_2^2 & \cdots & \alpha_2^d \\ 1 & \alpha_3 & \alpha_3^2 & \cdots & \alpha_3^d \\ \vdots & \vdots & \vdots & \ddots & \vdots \\ 1 & \alpha_{d+1} & \alpha_{d+1}^2 & \cdots & \alpha_{d+1}^d \end{pmatrix}$$

con la velocidad deseada, pues cada  $a_k^j$  converge a  $\alpha_j$  geoméricamente. Como la inversa de  $M_k$  tiene una forma explícita en función de las entradas, resulta que  $M_k^{-1}$  también converge con la velocidad deseada a la matriz

$$\begin{pmatrix} 1 & \alpha_1 & \alpha_1^2 & \cdots & \alpha_1^d \\ 1 & \alpha_2 & \alpha_2^2 & \cdots & \alpha_2^d \\ 1 & \alpha_3 & \alpha_3^2 & \cdots & \alpha_3^d \\ \vdots & \vdots & \vdots & \ddots & \vdots \\ 1 & \alpha_{d+1} & \alpha_{d+1}^2 & \cdots & \alpha_{d+1}^d \end{pmatrix}^{-1}.$$

Finalmente, de la relación

$$\begin{pmatrix} c_k^0 \\ c_k^1 \\ c_k^2 \\ \vdots \\ c_k^d \end{pmatrix} = -M_k^{-1} \begin{pmatrix} a_k^1 a_{k+1}^1 \cdots a_{k+d}^1 \\ a_k^2 a_{k+1}^2 \cdots a_{k+d}^2 \\ a_k^3 a_{k+1}^3 \cdots a_{k+d}^3 \\ \vdots \\ a_k^{d+1} a_{k+1}^{d+1} \cdots a_{k+d}^{d+1} \end{pmatrix}.$$

obtendremos que

$$\begin{pmatrix} c_k^0 \\ c_k^1 \\ c_k^2 \\ \vdots \\ c_k^d \end{pmatrix}$$

converge geométricamente, pues el vector

$$\begin{pmatrix} a_k^1 a_{k+1}^1 \cdots a_{k+d}^1 \\ a_k^2 a_{k+1}^2 \cdots a_{k+d}^2 \\ a_k^3 a_{k+1}^3 \cdots a_{k+d}^3 \\ \vdots \\ a_k^{d+1} a_{k+1}^{d+1} \cdots a_{k+d}^{d+1} \end{pmatrix},$$

conocido como  $m_k$ , converge a

$$\begin{pmatrix} \alpha_1^{d+1} \\ \alpha_2^{d+1} \\ \alpha_3^{d+1} \\ \vdots \\ \alpha_{d+1}^{d+1} \end{pmatrix}$$

con la velocidad deseada. De esta forma, hemos completado la inducción.  $\square$

## Capítulo 3

# Factorizando polinomios solares

En este capítulo, seguiremos las pautas del anterior para construir un algoritmo capaz de factorizar polinomios solares.

En caso que nuestro polinomio  $P$  sea de grado 1 damos el algoritmo por terminado. De no ser así, recordemos que podemos aproximar  $\alpha_1$  mediante el límite

$$\alpha_1 = \lim_{k \rightarrow \infty} \frac{\text{coef}_{n-2}(R_k)}{\text{coef}_{n-1}(R_k)} - \frac{\text{coef}_{n-1}(P)}{\text{coef}_n(P)};$$

con velocidad de aproximación geométrica (en  $k$ ). Por tal motivo, la expresión

$$\frac{\text{coef}_{n-2}(R_k)}{\text{coef}_{n-1}(R_k)} - \frac{\text{coef}_{n-1}(P)}{\text{coef}_n(P)};$$

será bautizada como  $\text{aprox}_k(\alpha_1)$ . Del mismo modo, tendremos el límite

$$\alpha_1 + \alpha_2 = \lim_{k \rightarrow \infty} \frac{\text{coef}_{n-3}(S_k^1)}{\text{coef}_{n-2}(S_k^1)} - \frac{\text{coef}_{n-1}(P)}{\text{coef}_n(P)};$$

y llamaremos  $\text{aprox}_k(\alpha_2)$  al resultado de la expresión

$$\frac{\text{coef}_{n-3}(S_k^1)}{\text{coef}_{n-2}(S_k^1)} - \frac{\text{coef}_{n-1}(P)}{\text{coef}_n(P)} - \text{aprox}_k(\alpha_1).$$

Dentro de este patrón, para los  $j$  desde 2 hasta  $n - 1$ , denotaremos por  $\text{aprox}_k(\alpha_j)$  al valor obtenido en

$$\frac{\text{coef}_{n-j-1}(S_k^{j-1})}{\text{coef}_{n-j}(S_k^{j-1})} - \frac{\text{coef}_{n-1}(P)}{\text{coef}_n(P)} - \sum_{r=1}^{j-1} \text{aprox}_k(\alpha_r)$$

y por  $\text{aprox}_k(\alpha_n)$  a lo obtenido en

$$-\frac{\text{coef}_{n-1}(P)}{\text{coef}_n(P)} - \sum_{r=1}^{n-1} \text{aprox}_k(\alpha_r).$$

No es difícil ver que la convergencia de  $\text{aprox}_k(\alpha_1)$  hacia  $\alpha_1$  tiene un efecto dominó sobre las velocidades de convergencia de los  $\text{aprox}_k(\alpha_j)$  hacia  $\alpha_j$ , pues cada una de estas depende de que tan rápido convergen

$$\frac{\text{coef}_{n-j-1}(S_k^{j-1})}{\text{coef}_{n-j}(S_k^{j-1})}$$

y  $\text{aprox}_k(\alpha_r)$ , para los  $r$  anteriores a  $j$ . Para  $\text{aprox}(\alpha_n)$  es aún más evidente, puesto que la rapidez de convergencia de este a  $\alpha_n$  solo depende de la de los índices anteriores. Es decir, todas estas aproximaciones convergen geoméricamente.

De este modo, una vez calculados  $S_K^0, S_K^1, \dots, S_K^{n-2}$  para un  $K$  suficientemente grande, logramos aproximaciones bastante decentes de las raíces de nuestro  $P$ .

### 3.1 Adentrándonos en el primer nivel

Ya hemos mencionado que en el primer nivel no es necesario avanzar de uno en uno, pues tenemos a mano la relación

$$S_{2k} \equiv S_k^2 \pmod{P}.$$

Lo que queremos insinuar es que para calcular  $S_{2k}^0$  basta multiplicar  $S_k^0$  consigo mismo y aplicar el algoritmo de división de Euclides a este resultado y a  $P$ .

Con la misma receta arrancamos de  $S_1^0 = z$  y obtenemos  $S_2^0, S_4^0, S_8^0, \dots$  en ese orden. Detenerse en la iteración  $L$  significa que hemos calculado  $S_1^0, S_2^0, S_4^0, \dots, S_{2^L}^0$ ; por comodidad denotaremos por  $K$  a  $2^L$ . Ahora notemos que en nuestra forma de pasar de  $S_k^0$  a  $S_{2k}^0$  hemos elevado  $S_k^0$  al cuadrado y luego hemos aplicado el algoritmo de división de Euclides. Como el grado de  $S_k^0$  no pasa de  $n - 1$ , para elevarlo al cuadrado efectuamos no más de  $O(n^2)$  sumas y restas. Asimismo, en aplicar la división a este resultado y a  $P$  tampoco se efectúa más de  $O(n^2)$  sumas y restas, pues el grado del primero es a lo sumo  $2n - 2$  y el del segundo es  $n$ . El efecto final es que no se efectúan más de  $2n^2$  operaciones en cada paso. Por ello el costo total de calcular  $S_K^0$  es de  $O(Ln^2)$ , pues hay  $L$  multiplicaciones y  $L$  divisiones.

### 3.2 Avanzando en niveles más profundos

Ahora queda como tarea idear una forma de calcular los  $S_K^1, S_K^2, \dots, S_K^{n-2}$  de forma eficiente. Asumiremos que a partir del índice  $K$  los grados de los

polinomios  $S_k^0, S_k^1, S_k^2, \dots, S_k^{n-2}$  ya se han estabilizado en  $n-1, n-2, n-3, \dots, 1$  respectivamente. Podemos asumir esto sin afectar la velocidad del algoritmo, ya que los  $K$  con esta propiedad son encontrados geoméricamente rápido.

Recordemos que  $S_k^d$  es el resto de  $z^k A_k^d(z)$  módulo  $P$  y este fue construido en base al nivel anterior cual

$$A_k^d(z) = z A_{k+1}^{d-1}(z) - \frac{\text{coef}_{n-d}(S_{k+1}^{d-1})}{\text{coef}_{n-d}(S_k^{d-1})} A_k^{d-1}(z).$$

Así, el residuo de  $z^k A_k^d(z)$  será el mismo que el de

$$z^{k+1} A_{k+1}^{d-1}(z) - \frac{\text{coef}_{n-d}(S_{k+1}^{d-1})}{\text{coef}_{n-d}(S_k^{d-1})} z^k A_k^{d-1}(z).$$

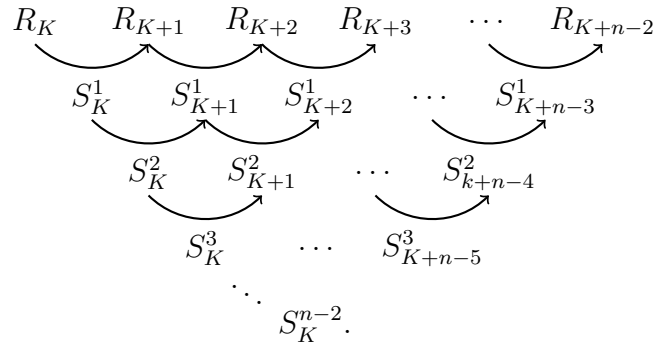
No obstante, este último es congruente módulo  $P$  a

$$S_{k+1}^{d-1}(z) - \frac{\text{coef}_{n-d}(S_{k+1}^{d-1})}{\text{coef}_{n-d}(S_k^{d-1})} S_k^{d-1}(z).$$

Este polinomio es de grado a lo sumo  $n-d-1$ , pues es el resto de dividir  $S_{k+1}^{d-1}$  entre  $S_k^{d-1}$ . La condición en el grado implica que este polinomio ha de ser  $S_k^d$ . De este modo, obtenemos la igualdad

$$S_k^d(z) = S_{k+1}^{d-1}(z) - \frac{\text{coef}_{n-d}(S_{k+1}^{d-1})}{\text{coef}_{n-d}(S_k^{d-1})} S_k^{d-1}(z),$$

lo cual sugiere calcular  $S_K^1, S_{K+1}^2, \dots, S_{K+n-2}^{n-2}$  mediante el esquema



La cantidad de operaciones de este proceso es  $O(n^3)$ , pues bajar del primer al segundo nivel toma  $n-1$  restas de polinomios de grado  $n-1$ . Es decir, para bajar al segundo nivel estamos usando al menos  $(n-1)^2$  operaciones.

Similarmente, para bajar al tercer nivel usaremos  $(n - 2)^2$ , para bajar al cuarto serán  $(n - 3)^2$  y así sucesivamente. Esta suma da un polinomio de orden cúbico en  $n$ .

La gracia de este capítulo recae en que este resultado puede ser optimizado hasta  $O(n^2)$ . El truco radica en ingeniárnosla para constuir los  $S_K^d$  de una manera alternativa.

Sea  $T_K^1$  resto de  $P$  al ser dividido por  $S_K^0$ . Este es de la forma

$$P(z) - B(z)S_K^0(z),$$

donde  $B$  es un polinomio de grado 1. Esto se debe a que  $P$  es exactamente un grado superior a  $S_K^0$ . Entonces módulo  $P$  tenemos

$$T_K^1(z) \equiv -B(z)S_K^0(z),$$

o, equivalentemente,

$$T_K^1(z) \equiv -B(z)z^K \pmod{P}.$$

Debido a que el grado de  $T_K^1$  es a lo sumo  $n - 2$  por ser un residuo respecto a  $S_K^0$ , deducimos que  $-B$  es un reescalamiento de  $A_K^1$  y por ende  $T_K^1$  lo es de  $S_K^1$ . Si remedamos esta idea logramos un análogo para los demás niveles.

**Teorema 3.1.** *Para los  $d$  mayores o iguales que 1 se tiene que  $S_K^{d+1}$  es un reescalamiento del residuo de dividir  $S_K^{d-1}$  entre  $S_K^d$ .*

*Prueba.* Comencemos observando que el grado de  $S_K^{d-1}$  es  $n - d$  y el de  $S_K^d$  es  $n - d - 1$ . Entonces el residuo, al que llamaremos  $T_K^{d+1}$ , es de la forma

$$S_K^{d-1}(z) - B(z)S_K^d(z),$$

para algún polinomio  $B$  de grado 1. Módulo  $P$  tendremos que se cumple

$$T_K^{d+1}(z) \equiv z^K A_K^{d-1}(z) - B(z)z^K A_K^d(z),$$

o, lo que es lo mismo,

$$T_K^{d+1}(z) \equiv z^K (A_K^{d-1}(z) - B(z)A_K^d(z)) \pmod{P}.$$

Sabemos que el grado de  $T_K^{d+1}$  es a lo sumo  $n - d - 2$  (por ser un residuo respecto a  $S_K^d$ ) y que el polinomio dentro del paréntesis es de grado  $d + 1$ , pues  $A_K^d$  y  $A_K^{d-1}$  son de grados  $d$  y  $d - 1$  exactamente. Ello implica que  $A_K^{d-1} - B A_K^d$  ha de ser un reescalamiento de  $A_K^{d+1}$  y, consecuentemente,  $T_K^{d+1}$  lo es de  $S_K^{d+1}$ .  $\square$

**Corolario 3.2.** *El resto de dividir un reescalamiento de  $S_K^{d-1}$  por uno de  $S_K^d$  es un reescalamiento de  $S_K^{d+1}$ .*

*Prueba.* Esto es claro. □

Este corolario es muy conveniente ya que nos brinda otra manera de calcular reescalamientos de  $S_K^d$ . Para nuestros fines estos reescalamientos son idénticos al polinomio original, pues la información que extraemos de ellos viene a través de las relaciones de Peano. Es así que ahora podemos trabajar con la sucesión  $T_K^0, T_K^1, T_K^2, \dots, T_K^{n-2}$  donde  $T_K^0$  es  $R_K$ ,  $T_K^1$  es el residuo de dividir  $P$  por  $R_K$  y para los  $d$  mayores que 1 el polinomio  $T_K^d$  es el resto de dividir  $T_K^{d-2}$  por  $T_K^{d-1}$ . Ahora notemos que la cantidad de operaciones realizadas para calcular  $T_K^d$  a partir de la división de  $T_K^{d-2}$  respecto a  $T_K^{d-1}$  es a lo sumo  $O(n)$ , debido a que los grados de estos son  $n - d + 1$  y  $n - d$  respectivamente. Para llegar hasta  $T_K^{n-2}$ , este proceso se realizará menos de  $n$  veces y por ende la complejidad total no es mayor a  $O(n^2)$ .

# Capítulo 4

## Extendiendo nuestro algoritmo

Ahora extenderemos nuestro algoritmo para polinomios con coeficientes en  $\mathbb{Q}[i]$ . Primeramente, lo haremos para polinomios con raíces simples, sin ninguna condición en sus normas.

### 4.1 Polinomios con raíces simples

En esta nueva situación no podemos asegurar que el algoritmo propuesto en el capítulo anterior funcione. Por tal motivo, recurriremos a un enfoque probabilístico. Trasladaremos  $P$  por un número aleatorio  $\tau$  y obtendremos el polinomio  $P_\tau$  definido como

$$P_\tau(z) = P(z + \tau).$$

Las raíces de  $P_\tau$  pasan a ser  $\alpha_1 - \tau, \alpha_2 - \tau, \dots, \alpha_n - \tau$ . Este polinomio es solar cuando

$$|\alpha_i - \tau| \neq |\alpha_j - \tau|$$

para cualesquiera  $i$  y  $j$  distintos. Esta condición es equivalente a decir que  $\tau$  se encuentra fuera de la mediatriz del segmento con extremos  $\alpha_i$  y  $\alpha_j$ .

Entonces  $P_\tau$  será un polinomio solar si y solo si  $\tau$  está fuera de las  $\frac{n(n-1)}{2}$  mediatrices generadas por las  $n$  raíces de  $P$ . Es claro que una cantidad finita de rectas en el plano complejo forma un conjunto de medida nula y por ende cualquier  $\tau$  que escojamos cumplirá con lo que buscamos casi seguramente.

Implementaremos esta idea de la siguiente manera. Recibimos el polinomio  $P$  con raíces simples y escogemos un  $\tau$  aleatorio para trasladar  $P$  a  $P_\tau$ . Luego, a este último le aplicamos el algoritmo descrito en el capítulo anterior. Finalmente, verificaremos que la evaluación de  $P_\tau$  en las aproximaciones obtenidas resulte en valores muy próximos a 0. De ser este el caso,

sumamos  $\tau$  a cada raíz obtenida para recuperar las raíces de  $P$  y damos por culminado el proceso. De no serlo, escogemos otro  $\tau$  aleatorio y repetimos las instrucciones.

Notemos que para cada elección de  $\tau$  tendremos que trasladar  $P$ , aplicar el algoritmo solar a  $P_\tau$  y evaluar  $P_\tau$  en los resultados obtenidos. El costo de trasladar  $P$  es  $O(n^2)$ . Para ver el porqué expandimos  $P$  como

$$c_n z^n + c_{n-1} z^{n-1} + \cdots + c_2 z^2 + c_1 z + c_0$$

y su traslado cual

$$c_n (z + \tau)^n + c_{n-1} (z + \tau)^{n-1} + \cdots + c_2 (z + \tau)^2 + c_1 (z + \tau) + c_0.$$

Primero, calcularemos  $1, (z + \tau), (z + \tau)^2, \dots, (z + \tau)^n$ . Esto se puede hacer en  $O(n^2)$  pasos, ya que cuando se obtiene  $(z + \tau)^j$ , el computar  $(z + \tau)^{j+1}$  es apenas cuestión de multiplicarlo por  $(z + \tau)$ ; y esto al ser la multiplicación de un polinomio de grado a lo sumo  $n$  con uno de grado 1 deviene en  $O(n)$  de coste. Es así que calcular tal lista con  $n + 1$  elementos nos costará en total  $O(n^2)$ . De acá, para obtener  $P_\tau$  tendremos que escalar cada  $(z + \tau)^j$  por  $c_j$  y sumarlos todos. Como cada uno de estos tiene grado a lo sumo  $n$ , el coste de realizar esto será a lo sumo nuevamente  $O(n^2)$ . A la postre, el costo de aplicar el algoritmo a  $P_\tau$  será de  $O(Ln^2)$ . Finalmente, evaluar  $P_\tau$  en cualquier número complejo cuesta  $O(n)$  operaciones, siguiendo el mismo proceso que usamos para trasladar  $P$ . Es así que evaluar  $P_\tau$  en las  $n$  aproximaciones obtenidas tomará en total  $O(n^2)$  operaciones.

En resumen, cada elección de  $\tau$  nos cuesta  $O(Ln^2)$ ; y si denotamos por  $I$  a la cantidad de veces que nos entregaremos al azar hasta salir exitosos, el costo total de nuestro algoritmo será  $O(ILn^2)$ .

Cuando obtengamos el éxito con algún  $\tau$ , tendremos que corregir las aproximaciones obtenidas, sumándoles  $\tau$ . Esta rutina tiene coste  $O(n)$  y se realiza solo una vez; es decir, su costo es negligible. Como la elección de  $\tau$  es un éxito casi seguro, se asumirá que tal  $I$  es una constante y la complejidad de nuestro algoritmo quedará en  $O(Ln^2)$ .

## 4.2 Polinomios con coeficientes gaussianos

Finalmente, atacaremos el caso en que  $P$  es cualquier polinomio con coeficientes en  $\mathbb{Q}[i]$ . Para completar este trabajo, basta notar que el polinomio  $\frac{P}{\gcd(P, P')}$  es un polinomio con raíces simples y, como conjunto, sus raíces son las mismas que las de  $P$ .

El coste de calcular  $\text{mcd}(P, P')$  con el algoritmo de Euclides es de  $O(n^2)$  y el de dividir  $P$  por  $\text{mcd}(P, P')$  será también a lo sumo  $O(n^2)$ , pues ambos son polinomios de grado a lo sumo  $n$ .

La veracidad de nuestra primera afirmación recae en que el algoritmo de Euclides para polinomios es un proceso por etapas, donde en cada una de estas se reemplaza el polinomio de mayor grado por el resto de dividir este mismo por el de menor grado. Si denotamos con  $D$  el grado del dividendo y con  $d$  el grado del divisor, esta división realiza no más de  $O(d(D - d + 1))$  operaciones básicas. Como en todo momento el grado de los polinomios envueltos no pasa de  $n$ , podemos controlar este costo por la suma de los  $O(n(D - d + 1))$ . Si indexamos las etapas desde 1 hasta  $c$ , y agregamos el número de etapa como subíndice tanto a  $D$  como a  $d$  tendremos que la complejidad rebasa

$$\sum_{j=1}^c O(n(D_j - d_j + 1)).$$

Llegado este punto, solo basta notar que se satisface  $D_j = d_{j+1}$ , pues el polinomio de menor grado se convierte en el dividendo de la siguiente etapa. Así esta suma se convierte en una telescópica con resultado final a lo sumo

$$O(n(D_1 + c)).$$

El número de etapas  $c$  no sobrepasa  $2n$  ya que en cada una de estas la suma de grados tiene que decrecer en al menos 1 y sabemos también que  $D_1$  no es superior a  $n$ ; por ende, el coste de tomar  $\text{mcd}$  es a lo sumo  $O(n^2)$ .

Ahora si llamamos  $\beta_1, \beta_2, \dots, \beta_r$  a las aproximaciones obtenidas al aplicar el algoritmo de la sección anterior al polinomio

$$P / \text{mcd}(P, P')$$

tendremos que estas aproximan también a todas las raíces de  $P$ . Sin embargo, aún nos falta conocer la multiplicidad de cada una. Esto se puede hacer en  $O(n^2)$  pasos vía el siguiente proceso. Comenzaremos con el conjunto  $C_0$  formado por  $\beta_1, \beta_2, \dots, \beta_r$  y denotaremos con  $C_j$  al subconjunto de  $C_0$  cuyos elementos son las aproximaciones de las raíces de multiplicidad al menos  $j$ . En cada paso, avanzaremos de  $C_j$  a  $C_{j+1}$  manteniendo solo los  $\beta_j$  que al ser evaluados en  $P^{(j+1)}$  entreguen un resultado muy cercano a 0. Llamaremos  $m_1, m_2, \dots, m_r$  a las multiplicidades de las raíces asociadas a  $\beta_1, \beta_2, \dots, \beta_r$  respectivamente. En el proceso descrito tendremos que  $\beta_j$  será evaluado solo en  $P^{(1)}, P^{(2)}, \dots, P^{(m_j)}$  y por ende  $\beta_j$  está envuelto en a lo sumo  $O(nm_j)$  operaciones, pues cada uno de esos polinomios es de grado menor a  $n$ . Como

cada evaluación envuelve a un  $\beta_j$ , la cantidad total de operaciones en estas es de orden

$$\sum_{j=1}^r O(nm_j).$$

Recordemos que  $\beta_1, \beta_2, \dots, \beta_r$  son las únicas raíces de  $P$  y por ende se cumple

$$\sum_{j=1}^r m_j = n.$$

De este modo, la cantidad de operaciones que envuelven evaluaciones será de orden  $O(n^2)$ . Finalmente, para poder evaluar es necesario haber precalculado  $P^{(1)}, P^{(2)}, \dots, P^{(n)}$ . Esto se logra en  $O(n^2)$  pasos, pues cuando ya se ha calculado  $P^{(j)}$  computar  $P^{(j+1)}$  requiere solo de derivarlo y esto último no cuesta más de  $O(n)$ .

Es así que este proceso nos da una manera de identificar la multiplicidad de la raíz asociada a cada una de nuestras aproximaciones y nuestro objetivo ha sido logrado.

# Capítulo 5

## Ejemplos

En este capítulo, usaremos diversos tipos de polinomios y varios  $L$ 's para poner a prueba nuestro algoritmo. Apuntamos el tiempo de ejecución y el error entre las raíces originales y las estimadas. El error que presentaremos es la norma máxima que se obtiene al restar cada raíz original con su aproximación.

### 5.1 Ejemplos solares

Como indica el subtítulo, primero aplicaremos nuestro algoritmo a polinomios solares. Para nuestro primer ejemplo factorizaremos el polinomio de grado 8 cuyas raíces, ordenadas de mayor a menor norma, son

$$\begin{aligned} & -86.89 - 86.31i, \quad 94.13 - 40.79i, \quad -38.79 + 93.66i, \quad -16.83 + 97.28i, \\ & 59.40 + 54.30i, \quad 48.14 + 51.89i, \quad 8.61 - 68.68i, \quad -24.72 - 0.29i. \end{aligned}$$

Los datos resultantes son

L	Error	Tiempo(s)
9	2.48678496517633 e+00	2.097873
10	5.55864020303965 e-03	2.297969
11	2.85092913530717 e-08	2.602764
12	7.49912343678924 e-19	2.862336
13	5.18870120359987 e-40	3.146492
14	2.48401939244180 e-82	3.506579
15	5.69308439267136 e-167	3.769358
16	2.99042490627857 e-336	4.067766
17	8.25094058945234 e-675	4.281943

En nuestro segundo ejemplo abordaremos un polinomio más exigente, de grado 15 y con raíces

$$\begin{aligned}
 &65.28 + 82.62i, \quad 65.43 - 78.05i, \quad -61.08 + 81.22i, \quad -80.59 - 61.44i, \\
 &63.75 + 72.52i, \quad -9.01 - 95.36i, \quad -86.41 + 38.1i, \quad -84.26 + 29.83i, \\
 &-32.19 - 82.17i, \quad -86.6 + 7.15i, \quad -73.17 + 42.42i, \quad -67.29 - 37.98i, \\
 &61.2 - 37.38i, \quad 40.11 - 17.87i, \quad -2.71 + 25.38i.
 \end{aligned}$$

Los resultados son

L	Error	Tiempo(s)
9	1.71606300958666 e+02	6.432603
10	1.16870450886076 e+02	7.39478
11	1.40312690668573 e+01	8.729825
12	1.52261829617272 e-01	9.579008
13	1.85233771472376 e-05	10.270248
14	2.87602807029042 e-13	11.191145
15	6.94842659887015 e-29	12.530459
16	4.05576871972971 e-60	13.358438
17	1.38180447847317 e-122	14.519003

En nuestro tercer ejemplo trataremos un caso aún más ambicioso, un polinomio de grado 20 con las siguientes raíces

$$\begin{aligned}
 &82.614 + 95.503i, \quad 73.820 - 85.456i, \quad 48.209 + 98.959i, \quad 74.396 + 67.443i, \\
 &76.031 - 55.370i, \quad 0.585 + 85.116i, \quad -1.155 - 84.987i, \quad 71.868 - 35.413i, \\
 &-79.424 - 7.908i, \quad 19.625 - 75.453i, \quad 51.284 + 50.830i, \quad 5.910 - 63.016i, \\
 &-20.784 - 55.677i, \quad -0.006 - 56.818i, \quad 8.675 - 50.414i, \quad 47.256 + 7.628i, \\
 &36.939 - 17.329i, \quad 33.265 - 19.947i, \quad 0.702 - 32.531i, \quad -7.853 - 0.752i.
 \end{aligned}$$

Los resultados obtenidos son

L	Error	Tiempo(s)
9	1.70110418945225 e+02	11.179499
10	1.70119477367685 e+02	12.886351
11	1.70174445154308 e+02	14.436636
12	1.71159608665796 e+02	16.329424
13	4.21823120164742 e+01	18.262189
14	3.95441090032439 e-04	20.19468
15	1.96705411695599 e-14	21.137639
16	4.86726914562631 e-35	22.994728

Nótese que en todos estos ejemplos el error converge a 0 cuadráticamente; esto se debe a que las raíces tienen normas distintas entre sí.

## 5.2 Ejemplos ciclotómicos

Como segunda tanda de ejemplos, atacamos polinomios con raíces distintas y todas de la misma norma. No hay mejor ejemplo para esto que los polinomios ciclotómicos. A los datos que recopilamos, le adicionaremos la cantidad de traslaciones usadas (I), la traslación exitosa ( $\tau$ ) y el tiempo de ejecución que tomó factorizar esta última traslación (T. parcial).

Factorizando el ciclotómico de grado 12, obtenemos los siguientes datos

L	I	$\tau$	Error	T. parcial(s)	T. total(s)
12	2	-1.000 - 0.333 i	6.00895058487385 e-108	6.8288	7.7026
13	4	2.500 - 2.000 i	7.91955448184537 e-64	6.7164	20.6813
14	2	-1.500 + 3.000 i	3.08917329697785 e-124	7.3130	8.2123
15	2	0.400 - 2.000 i	7.10394489293256 e-235	8.1733	9.0533
16	2	1.500 - 0.500 i	9.56787208943175 e-1063	8.7043	9.6788
17	4	2.250 + 2.500 i	4.86699795255496 e-1253	9.2998	28.7574

El mismo proceso para el ciclotómico de grado 16 nos entrega

L	I	$\tau$	Error	T. parcial(s)	T. total(s)
13	3	1.250 + 0.333 i	2.26366882030496 e-72	12.258948	25.180862
14	2	0.667 + 2.000 i	2.93112870543631 e-104	13.464402	14.542886
15	2	1.000 + 0.667 i	3.62956296365267 e-178	15.319702	16.611212
16	2	1.500 + 1.500 i	1.44986069373499 e-213	8.074469	9.199366
17	3	2.000 - 0.600 i	4.11970666685904 e-723	17.137764	34.726252

Finalmente, para el de grado 18, obtenemos

L	I	$\tau$	Error	T. parcial(s)	T. total(s)
13	3	1.800 + 0.400	1.10304471907419 e-58	15.095463	30.527987
14	2	-0.500 - 0.800	2.20504070470069 e-49	15.751336	17.607339
15	2	1.000 + 0.250	6.02772892023472 e-204	16.854215	18.579865
16	2	2.000 + 1.333	9.59940270435357 e-289	19.138753	21.295259
17	2	3.333 + 0.333	2.89710669358940 e-666	20.878759	23.044009

Nótese que para este grupo de polinomios, tanto los errores como los tiempos son más erráticos debido al componente aleatorio que hemos agregado.

### 5.3 Ejemplos mixtos

Para nuestra última muestra tomaremos polinomios que tengan tanto raíces repetidas como raíces distintas con la misma norma.

En nuestro primer ejemplo afrontaremos el polinomio de grado 8, de raíces

$$\begin{aligned} & -30.00 + 40.00i, \quad -30.00 + 40.00i, \quad 40.00 - 30.00i, \quad 12.34 - 23.45i, \\ & -12.34 + 23.45i, \quad 5.67 - 8.90i, \quad -5.67 + 8.90i, \quad 0.00 + 0.00i. \end{aligned}$$

Claramente tenemos raíces repetidas y también raíces distintas de misma norma. Para este caso, obtenemos los siguientes resultados

L	I	$\tau$	Error	T. parcial(s)	T. total(s)
10	6	-0.667 + 2.000 i	2.24180635240550 e-63	2.097254	11.253781
11	2	-0.667 + 2.000 i	3.77840581612173 e-130	2.321483	4.162268
12	3	-1.800 + 1.667 i	5.21435996351661 e-342	2.520397	6.750634
13	2	0.200 + 2.000 i	3.96200161130099 e-358	2.790895	4.903745
14	2	-3.333 + 0.333 i	7.26126603535547 e-1439	2.976863	5.340433
15	2	-0.333 + 2.667 i	1.14026824122488 e-2408	3.420871	6.034366
16	2	0.400 - 1.333 i	2.57665022178560 e-2749	3.386469	6.154771

Nuestro segundo ejemplo será el polinomio de grado 10 dado por las raíces

$$\begin{aligned} & 30.12 - 12.34i, \quad 30.12 - 12.34i, \quad -10.00 + 30.00i, \quad -24.00 - 7.00i, \\ & 7.00 - 24.00i, \quad -15.00 - 20.00i, \quad 15.00 + 20.00i, \quad 3.45 + 10.23i, \\ & -1.23 - 3.45i, \quad -1.23 - 3.45i. \end{aligned}$$

Aquí también tenemos raíces repetidas y raíces distintas de misma norma. Los datos que obtenemos al correr nuestro algoritmo sobre este polinomio son

L	I	$\tau$	Error	T. parcial(s)	T. total(s)
12	2	3.333 - 1.333 i	1.30775005222565 e-127	3.693511	6.908053
13	8	1.333 + 1.750 i	1.21532793593321 e-103	3.798908	28.824791
14	2	-2.500 + 0.250 i	5.89186788780851 e-183	4.003009	7.943665
15	2	1.500 - 2.000 i	9.41223420707098 e-190	4.337286	8.36966
16	2	-1.000 + 0.000 i	2.13161492824908 e-699	4.464963	8.825763
17	2	0.000 - 2.000 i	1.87535322551842 e-1681	5.060881	9.657633

Para nuestro ejemplo final, usaremos el polinomio de grado 13 dado por la raíces

$$\begin{aligned}
 & -40.00i + 30.00i, \quad 40.00 - 30.00i, \quad -30.00 - 40.00i, \quad 25.50 + 35.50i, \\
 & -25.50 - 35.50i, \quad -20.00 + 44.00i, \quad 20.00 - 44.00i, \quad 12.34 - 12.34i, \\
 & -12.34 + 12.34i, \quad 5.00 + 5.00i, \quad -5.00 - 5.00i, \quad 1.11 - 0.99i, \\
 & 1.11 - 0.99i,
 \end{aligned}$$

Este también es un polinomio mixto y los resultados obtenidos para este son

L	I	$\tau$	Error	T. parcial(s)	T. total(s)
13	3	0.000 - 3.333 i	9.31380942041943 e-92	6.822192	19.641109
14	6	-0.400 - 1.800 i	3.95714697784651 e-152	7.500962	42.83404
15	7	-0.600 - 1.250 i	1.98829324927868 e-295	9.450124	59.248432
16	4	-2.667 - 1.750 i	2.03754166321791 e-347	9.624125	37.24789

## 5.4 Implementación

La implementación en el lenguaje C++ del algoritmo sigue a continuación.

---

```

#include <gmpxx.h>
#include <iostream>
#include <iomanip>
#include <utility>
#include <vector>
#include <random>
#include <chrono>

std::mt19937_64 rng(
    std::chrono::steady_clock::now().time_since_epoch().count()
);

mpf_class eps_coef() {
    return mpf_class("1e-50000");
}

mpf_class eps_zero() {
    return mpf_class("1e-18");
}

```

```

int random(int a, int b) {
    return std::uniform_int_distribution<int> (a, b) (rng);
}

struct Complex_q {
    mpq_class real;
    mpq_class imag;

    Complex_q() : real(0), imag(0) {}
    Complex_q(mpq_class r, mpq_class j) : real(r), imag(j) {}

    Complex_q& operator -= (const Complex_q& w) {
        real -= w.real;
        imag -= w.imag;
        return *this;
    }

    Complex_q operator * (const Complex_q& w) const {
        mpq_class r = real * w.real - imag * w.imag;
        mpq_class j = real * w.imag + imag * w.real;
        return Complex_q(r, j);
    }

    Complex_q operator / (const Complex_q& w) const {
        mpq_class norm = w.real * w.real + w.imag * w.imag;
        mpq_class r = (real * w.real + imag * w.imag) / norm;
        mpq_class j = (w.real * imag - real * w.imag) / norm;
        return Complex_q(r, j);
    }

    bool nul() const {
        if(real == 0 and imag == 0) return true;
        return false;
    }

    friend std::ostream& operator >> (
        std::ostream& is, Complex_q& z
    ) {
        is >> z.real >> z.imag;
        return is;
    }
}

```

```

    }
};

struct Complex_f {
    mpf_class real;
    mpf_class imag;

    Complex_f() : real(0), imag(0) {}
    Complex_f(mpf_class r, mpf_class j) : real(r), imag(j) {}
    Complex_f(Complex_q z) : real(z.real), imag(z.imag) {}

    Complex_f& operator += (const Complex_f& w) {
        real += w.real;
        imag += w.imag;
        return *this;
    }

    Complex_f& operator -= (const Complex_f& w) {
        real -= w.real;
        imag -= w.imag;
        return *this;
    }

    Complex_f operator - (const Complex_f& w) const {
        return Complex_f(real - w.real, imag - w.imag);
    }

    Complex_f operator - (const Complex_q& w) const {
        return Complex_f(real - (mpf_class) w.real,
            imag - (mpf_class) w.imag);
    }

    Complex_f operator * (const Complex_f& w) const {
        mpf_class r = real * w.real - imag * w.imag;
        mpf_class j = real * w.imag + imag * w.real;
        return Complex_f(r, j);
    }

    Complex_f operator / (const Complex_f& w) const {
        mpf_class norm = w.real * w.real + w.imag * w.imag;
        mpf_class r = (real * w.real + imag * w.imag) / norm;

```

```

    mpf_class j = (w.real * imag - real * w.imag) / norm;
    return Complex_f(r, j);
}

bool close_to_zero() {
    if(abs(real) < eps_zero() and abs(imag) < eps_zero())
        return true;
    return false;
}

bool lead_zero() {
    if(abs(real) < eps_coef() and abs(imag) < eps_coef())
        return true;
    return false;
}

friend std::ostream& operator << (
    std::ostream& os, const Complex_f& z
) {
    os << z.real << " & " << z.imag;
    return os;
}
};

struct Poly_q{
    std::vector<Complex_q> pol;
    int deg;

    Poly_q() : pol({}), deg(-1) {}
    Poly_q(std::vector<Complex_q> p) :
        pol(p), deg((int) p.size() - 1) {}

    Poly_q operator / (const Poly_q& q) const {
        Poly_q copy = *this;
        std::vector<Complex_q> p(0);
        while(copy.deg >= q.deg) {
            p.push_back(copy.pol.back() / q.pol.back());
            for(int i = 0; i <= q.deg; i++) {
                copy.pol[copy.deg - i] -= p.back() * q.pol[q.deg - i];
            }
            copy.pol.pop_back();
        }
    }
};

```

```

        copy.deg -= 1;
    }
    std::reverse(p.begin(), p.end());
    return Poly_q(p);
}

Poly_q& operator %= (const Poly_q& q) {
    while(deg >= q.deg) {
        Complex_q cte = pol.back() / q.pol.back();
        for(int i = 0; i <= q.deg; i++) {
            pol[deg - i] -= cte * q.pol[q.deg - i];
        }
        pol.pop_back();
        deg -= 1;
    }
    while(deg >= 0 and pol.back().nul()) {
        pol.pop_back();
        deg -= 1;
    }
    return *this;
}

bool nul_in(Complex_f z) {
    Complex_f r(pol.back());
    for(int i = deg - 1; i >= 0; i--) {
        r = r * z;
        r += Complex_f(pol[i]);
    }
    r = r / Complex_f(pol.back());
    return r.close_to_zero();
}

friend std::istream& operator >> (
    std::istream& is, Poly_q& p
) {
    is >> p.deg;
    p.pol = std::vector<Complex_q> (p.deg + 1);
    for(int i = p.deg; i >= 0; i--) {
        is >> p.pol[i];
    }
    return is;
}

```

```

    }

    friend std::ostream& operator << (
        std::ostream& os, const Poly_q& p
    ) {
        os << p.deg << std::endl;
        for(int i = p.deg; i >= 0; i--) {
            os << p.pol[i] << std::endl;
        }
        return os;
    }
};

struct Poly_f{
    std::vector<Complex_f> pol;
    int deg;

    Poly_f() : pol({}), deg(-1) {}
    Poly_f(std::vector<Complex_f> p) :
        pol(p), deg((int) p.size() - 1) {}
    Poly_f(Poly_q P) : deg(P.deg) {
        pol = std::vector<Complex_f> (0);
        for(Complex_q& z: P.pol) pol.push_back(Complex_f(z));
    }

    Poly_f operator * (const Poly_f& q) const {
        if(deg == -1 or q.deg == -1) return Poly_f();
        int n = deg + q.deg;
        std::vector<Complex_f> p(n + 1);
        for(int i = 0; i <= deg; i++) {
            for(int j = 0; j <= q.deg; j++) {
                p[i + j] += pol[i] * q.pol[j];
            }
        }
        return Poly_f(p);
    }

    Poly_f& operator %= (const Poly_f& q) {
        while(deg >= q.deg) {
            Complex_f cte = pol.back() / q.pol.back();

```

```

        for(int i = 0; i <= q.deg; i++) {
            pol[deg - i] -= cte * q.pol[q.deg - i];
        }
        pol.pop_back();
        deg -= 1;
    }
    while(deg >= 0 and pol.back().lead_zero()) {
        pol.pop_back();
        deg -= 1;
    }
    return *this;
}

bool nul_in(Complex_f z) {
    Complex_f r(pol.back());
    for(int i = deg - 1; i >= 0; i--) {
        r = r * z;
        r += Complex_f(pol[i]);
    }
    r = r / pol.back();
    return r.close_to_zero();
}

Complex_f roots_sum() const {
    return Complex_f(-1, 0) * pol[deg - 1] / pol[deg];
}

friend std::ostream& operator << (
    std::ostream& os, const Poly_f& p
) {
    os << p.deg << std::endl;
    for(int i = p.deg; i >= 0; i--) {
        os << p.pol[i] << std::endl;
    }
    return os;
}
};

Poly_q gcd(Poly_q P, Poly_q Q) {
    while(Q.deg != -1) {
        P %= Q;
    }
}

```

```

    std::swap(P, Q);
}
return P;
}

Poly_q der(Poly_q P) {
    for(int i = 0; i < P.deg; i++) {
        P.pol[i] = P.pol[i + 1] * Complex_q(i + 1, 0);
    }
    P.pol.pop_back();
    P.deg -= 1;
    return P;
}

Complex_f get_root(Poly_f& T, Poly_f& T_aux) {
    return T.roots_sum() - T_aux.roots_sum();
}

std::vector<Complex_f> algoritmo_solar(
    const Poly_f& P, int L, bool& finished
) {
    Poly_f R({Complex_f(), Complex_f(1, 0)});
    for(int i = 0; i < L; i++) {
        R = R * R;
        R %= P;
    }
    std::vector<Complex_f> roots_0(0);
    Poly_f T = P;
    Poly_f T_aux = R;
    while(T_aux.deg >= 1) {
        if(T.deg - T_aux.deg != 1) {
            finished = false;
            return {};
        }
        roots_0.push_back(get_root(T, T_aux));
        T %= T_aux;
        std::swap(T, T_aux);
    }
    if((int) roots_0.size() != P.deg - 1) {
        finished = false;
        return {};
    }
}

```

```

    }
    roots_0.push_back(T.roots_sum());
    return roots_0;
}

Poly_f translate(const Poly_f& P, Complex_f r) {
    Poly_f z({r, Complex_f(1, 0)});
    Poly_f P_r({P.pol.back()});
    for(int i = P.deg - 1; i >= 0; i--) {
        P_r = P_r * z;
        P_r.pol[0] += P.pol[i];
    }
    return P_r;
}

mpq_class aleat() {
    int num = random(-10, 10);
    int den = random(3, 5);
    return mpq_class(num, den);
}

int main() {
    mpf_set_default_prec(200000);
    int L;
    Poly_q P;
    std::cin >> P >> L;

    Poly_f P_base = P / gcd(P, der(P));

    bool finished = false;
    std::vector<std::vector<Complex_f>> roots(1);
    Complex_f r;
    while(!finished) {
        Poly_f P_r = translate(P_base, r);
        finished = true;
        roots[0] = algoritmo_solar(P_r, L, finished);
        for(Complex_f& z: roots[0]) {
            if(!P_r.nul_in(z)) {
                finished = false;
                break;
            }
        }
    }
}

```

```
    }
    if(!finished) r = Complex_f(aleat(), aleat());
}

for(Complex_f& z: roots[0]) z += r;
while(P.deg >= 1) {
    P = der(P);
    std::vector<Complex_f> deeper_roots;
    for(Complex_f& z: roots.back()) {
        if(P.nul_in(z)) {
            deeper_roots.push_back(z);
        }
    }
    roots.push_back(deeper_roots);
}

for(auto v: roots) for(auto z: v) std::cout << z << std::endl;

return 0;
}
```

---

# Referencias

- J. Torres. *Factorización de polinomios con dinámica compleja*. Trabajo de Bachillerato, Pontificia Universidad Católica del Perú, 2020.
- J. Torres. Approximating roots of polynomials. Tesis de Licenciatura, Pontificia Universidad Católica del Perú, 2021.
- Poirier, A. y Torres, J. (2023). Approximating roots by quadratic iteration. *Proyecciones (Antofagasta, On line)*, 42 (2), pp. 407-431.
- Poirier, Alfredo. *Iteración de polinomios y funciones racionales*. Fondo Editorial PUCP, 2016.